

## ВЛИЯНИЕ ДИНАМИКИ ВНУТРИКЛЕТОЧНОГО КАЛЬЦИЯ НА ЭЛЕКТРИЧЕСКУЮ АКТИВНОСТЬ КЛЕТОК СИНОАТРИАЛЬНОГО УЗЛА

© 2016 г. А.Д. Хохлова\* \*\*, Р.А. Сюняев\*\*\*, А.М. Рывкин\* \*\*, Д.В. Шмарко\* \*\*,  
М.А. Гонотков\*\*\*\*, Е.А. Лебедева\*\*\*\*, В.А. Головко\*\*\*\*, А.С. Москвин\*\*,  
О.Э. Соловьёва\* \*\* \*\*\*\*\*, Р.Р. Алиев\*\*\* \*\*\*\*\*

\*Институт иммунологии и физиологии УрО РАН, 620049, Екатеринбург, ул. Первомайская, 106;

\*\*Уральский федеральный университет имени первого Президента России Б.Н. Ельцина,  
620002, Екатеринбург, ул. Мира, 19;

\*\*\*Московский физико-технический институт (государственный университет),  
141701, Долгопрудный Московской области, Институтский пер., 9;

\*\*\*\*Институт физиологии Коми научного центра УрО РАН,  
167982, Республика Коми, Сыктывкар, ул. Первомайская, 50;

\*\*\*\*\*Институт математики и механики УрО РАН, 620990, Екатеринбург, ул. С. Ковалевской, 16;

\*\*\*\*\*Институт теоретической и экспериментальной биофизики РАН,  
142290, Пущино Московской области, ул. Институтская, 3

E-mail: a.khokhlova@iip.uran.ru

Поступила в редакцию 11.06.16 г.

При помощи математического моделирования исследовалось влияние динамики внутриклеточного кальция на спонтанную активность клеток водителей ритма. Мы сравнили ответы на подавление кальциевого тока L-типа в нескольких моделях электрической активности клеток синоатриального узла. Все модели показали уменьшение максимальной скорости деполяризации, амплитуды потенциала действия, длительности потенциала действия. Модели кальциевых часов показали увеличение периода колебаний до 12%. Модели, в которых спонтанная активность в основном определяется током, активируемым при гиперполяризации, показали до 15% уменьшение периода колебаний. Сопоставление полученных теоретических результатов с экспериментальными данными свидетельствует о различном вкладе внутриклеточных механизмов в спонтанную активность водителей ритма в центре и на периферии синоатриального узла.

**Ключевые слова:** потенциал действия, динамика кальция, синоатриальный узел, математическое моделирование.

Современные модели генерации потенциала действия (ПД) в клетках водителей ритма синоатриального узла (САУ), построенные на основе формализма Ходжкина–Хаксли [1], описывают динамику мембранных токов в клетке. Многие из них учитывают внутриклеточную динамику основных ионов:  $\text{Na}^+$ ,  $\text{K}^+$ ,  $\text{Ca}^{2+}$ . С принципами построения математических моделей кардиомиоцитов можно ознакомиться в работах [2,3].

Сокращения: ПД – потенциал действия, САУ – синоатриальный узел, СР – саркоплазматический ретикулум, МЛ-модель – модель Мальцева и Лакатта, ЭКМ – электронно-конформационная модель, ДПД<sub>50</sub> – длительность ПД на 50% амплитуды.

Роль кальциевой динамики в генерации потенциала действия клеток САУ до сих пор остается открытым вопросом. С одной стороны, для клеток истинных водителей ритма САУ характерен невыраженный саркоплазматический ретикулум (СР), который занимает меньшую долю объема клетки по сравнению с клетками рабочего миокарда предсердий и желудочков [4,5], что может свидетельствовать о меньшем вкладе динамики внутриклеточного кальция в электрофизиологическую функцию таких клеток. С другой стороны, в численных экспериментах было показано, что изолированная от мембранных токов  $\text{Ca}^{2+}$ -высвобождающая система в клетках САУ может вести себя как осциллятор, запускающий ПД [6]. Данная

гипотеза позволяет объяснить экспериментальные данные о существовании спонтанных локальных высвобождений  $\text{Ca}^{2+}$  из СР [6,7], что дало повод для обсуждения возможной роли высвобождения  $\text{Ca}^{2+}$  из СР в спонтанной активности клеток водителей ритма [3,6,8]. Таким образом, существующие на сегодняшний день модели можно условно разбить на две группы: модели, где в качестве триггера спонтанной активности выступает ток, активируемый при гиперполяризации ( $i_p$ ) (ниже модели «мембранных часов»), и модели, основанные на механизме так называемых «кальциевых часов».

На сегодняшний день не существует экспериментальных методов, позволяющих прямым образом одновременно измерять концентрацию  $\text{Ca}^{2+}$  в различных отделах клетки и проанализировать влияние динамики  $\text{Ca}^{2+}$  на генерацию ПД в клетках водителей ритма.

В данной работе влияние внутриклеточного кальция на электрическую активность клеток водителей ритма проанализировано в рамках различных моделей генерации ПД клетками САУ кролика, в том числе одной из ранних моделей Noble & Noble [9], а также более детальных математических моделей, учитывающих динамику ионов  $\text{Ca}^{2+}$  [6,8,10], в нормальных и патологических условиях при ингибировании кальциевого тока L-типа.

## МАТЕМАТИЧЕСКИЕ МОДЕЛИ И МЕТОДЫ

Далее кратко представим основные черты анализируемых математических моделей, описывающих спонтанную генерацию электрических импульсов клетками САУ кролика при физиологической температуре 34–37°C. Изменение трансмембранных потенциала кардиомиоцита в каждой из моделей описывалось дифференциальным уравнением  $dV_m/dt = -1/C_m(\Sigma i_{\text{ion}})$ , где  $V_m$  – трансмембранный потенциал,  $C_m$  – емкость мембранны,  $\Sigma i_{\text{ion}}$  – сумма ионных токов через мембрану клетки.

**Модели, не учитывающие внутриклеточную динамику  $\text{Ca}^{2+}$ .** Модель Zhang (2000) [11]. Одна из моделей, известных в литературе, которая описывает региональные различия электрической активности клеток САУ. Авторы модели на основе экспериментальных данных разработали модель генерации ПД центральных клеток (истинных водителей ритма) и периферического региона САУ (латентных водителей ритма). Данные модели качественно воспроизводят экспериментальные данные по ингибированию тетродотоксин-чувствительного натриевого тока,

кальциевого тока через каналы L- и T-типов и тока входящего выпрямления  $i_{K1}$ . Модель не учитывает динамику ионов  $\text{Ca}^{2+}$  внутри клетки, концентрация  $\text{Ca}^{2+}$  в цитозоле задается постоянной величиной.

**Модели, учитывающие внутриклеточную динамику ионов кальция.** Модель Noble & Noble (1984) [9]. Данная модель является прототипом современных более детальных математических моделей, описывающих электрическую функцию клеток водителей ритма. Кроме описания мембранных токов в модели учитывается, в том числе, вызванное кальцием высвобождение кальция. В этой модели  $\text{Ca}^{2+}$ , поступающий из внеклеточного пространства (через каналы L-типа), активирует рианодиновые рецепторы и вызывает поток ионов  $\text{Ca}^{2+}$  из СР. Саркоплазматический ретикулум представлен как два связанных между собой отдела – поглощающий и высвобождающий.

Модель Алиева (2004–2005) [12,13]. Модель центральных и периферических клеток САУ была разработана на основе моделей Zhang 2000 и [14]. Учитывает как различия между клетками из центра и периферии, так и динамику внутриклеточных концентраций ионов  $\text{Na}^+$ ,  $\text{K}^+$ ,  $\text{Ca}^{2+}$ , процессы вызванного кальцием высвобождения кальция и связывания ионов  $\text{Ca}^{2+}$  кальмодулином, тропонином и кальсеквестрином. В данном случае проводимость рианодинового канала является функцией концентрации  $\text{Ca}^{2+}$  в диадическом пространстве цитоплазмы (области между кальциевыми каналами и рианодиновыми рецепторами). Также модель учитывает влияние ацетилхолина на электрическую активность клетки за счет активации ацетилхолинависимого калиевого тока, сдвига кривой активации тока активированного гиперполяризацией и подавления кальциевого тока.

**Модели кальциевых часов.** В следующих моделях  $\text{Ca}^{2+}$ -высвобождающая система может работать в автоколебательном даже автономно от мембранных динамик как самоподдерживающийся устойчивый осциллятор.

Модель Мальцева и Лакатта (2009) (ML-модель) [6]. Особое внимание авторы при разработке этой модели уделили исследованию роли кластеров рианодиновых каналов, расположенных на мемbrane СР, в высвобождении ионов  $\text{Ca}^{2+}$  из СР. Кластеры рианодиновых каналов описываются в модели как один объединенный канал, в отличие от большинства более ранних моделей открытие/закрытие которого описывается в терминах марковской цепи, состоящей из четырех основных состояний

[15]. Авторы показали, что открытие рианодиновых каналов и запуск высвобождения  $\text{Ca}^{2+}$  возможны без внешнего сигнала со стороны кальциевых L-каналов, что может объяснить экспериментальные данные о существовании спонтанных локальных высвобождений  $\text{Ca}^{2+}$  из СР в клетках САУ. Так, показав в численных экспериментах, что изолированная от мембранных токов  $\text{Ca}^{2+}$ -высвобождающая система может вести себя как самоподдерживающийся устойчивый осциллятор, авторы вводят понятие «внутриклеточных кальциевых часов» клетки.

*Модель Severi (2012) [10].* Авторы данной модели пересмотрели уравнения мембранных токов, основываясь на современных экспериментальных данных. Основной акцент был сделан на модификации формул для токов/ионных насосов и обменников для того, чтобы корректно описать в модели влияние ингибиторов активируемого при гиперполяризации тока ( $i_f$ ), а также описать механизмы вегетативной и  $\text{Ca}^{2+}$ -зависимой регуляции клеток САУ. Для этого авторы использовали экспериментальные данные по влиянию ивабрадина, цезия, ацетилхолина, изопреналина и ВАРТА на потенциал действия клетки. Описание динамики ионов  $\text{Ca}^{2+}$  было заимствовано из ML модели.

*Электронно-конформационная модель  $\text{Ca}^{2+}$ -высвобождающей системы + ML-модель (2015) (объединенная модель ML + ЭКМ) [8].* Авторы этой модели интегрировали оригинальную электронно-конформационную модель (ЭКМ) кластера рианодиновых каналов (9\*9) в ML-модель, заменив описание вызванного кальцием высвобождения кальция. Основной особенностью данной модели является рассмотрение динамики рианодинового канала не как дискретного марковского процесса, а как непрерывного в рамках электронно-конформационной теории. Данная модель сводит огромное количество степеней свободы канала всего к двум: быстрой (электронной, отвечающей за присоединение ионов  $\text{Ca}^{2+}$  к активным центрам канала) и медленной (конформационной, отвечающей за его структурное открытие/закрытие) [3]. Состояние канала описывается в энергетических терминах двухъярусным конформационным потенциалом (минимумы, вероятности переходов между ветвями которого зависят от концентрации  $\text{Ca}^{2+}$  в терминальных цистернах СР и в диадическом пространстве). Данный подход к рассмотрению кластеров рианодиновых каналов позволяет исследовать процесс высвобождения  $\text{Ca}^{2+}$  из СР на макромолекулярном уровне. Было показано, что учет конформационного взаимодействия между каналами обес-

печивает устойчивость колебаний кальциевых часов в физиологическом режиме работы [16].

**Методы.** Каждая из моделей Noble & Noble, ML, Severi, Zhang и Алиева представляет собой систему обыкновенных дифференциальных уравнений с заданными начальными условиями. Для расчета активационных и инактивационных переменных ионных каналов и ПД в данных моделях был выбран явный метод Эйлера с шагом по времени  $\Delta t = 10^{-5}$  с. Для электронно-конформационной модели стохастической динамики рианодинового канала в модели ML + ЭКМ использовали метод Монте-Карло.

Для расчета моделей Noble & Noble, ML, Severi и Zhang был использован пакет COR [17]. Полная система дифференциальных уравнений и параметров данных моделей на языке CellML представлена на сайте <https://models.physiomeproject.org/cellml>. Объединенная модель ML + ЭКМ и модель Алиева были рассчитаны в оригинальных программных комплексах.

Для моделирования ингибирования кальциевого тока L-типа в каждой исследуемой модели максимальная проводимость/проницаемость каналов L-типа к ионам кальция была уменьшена на 25 и на 50%. Для анализа были рассмотрены первые 10 сердечных циклов. Для сравнения результатов моделирования с экспериментальными данными были использованы данные по влиянию блокатора кальциевых каналов нифедипина (0,1, 0,5 и 2 мкМ) на потенциал действия клеток САУ [18,19].

## РЕЗУЛЬТАТЫ

В таблице приведено сравнение характеристик ПД всех рассматриваемых моделей клеток САУ с экспериментальными данными, полученными на небольших кусочках ткани из центра и периферии САУ кролика в нормальных условиях [18–21] и при действии блокатора кальциевых каналов L-типа [18,19]. Все модели центральных клеток САУ (модели Noble & Noble, ML, Severi, ML + ЭКМ, Zhang (центр), Алиева (центр)) воспроизводят основную характеристику истинных водителей ритма – максимальная скорость  $dV_{\max}/dt$  фазы быстрой деполяризации ПД соответствует медленной скорости деполяризации клеток центра САУ, зарегистрированной экспериментально ( $1,9 \pm 0,19$  В/с [20] ~  $5,6 \pm 1,8$  В/с [18]). Период спонтанных возбуждений и длительность ПД на 50% амплитуды ( $\text{ДПД}_{50}$ ) во всех моделях центра САУ качественно соответствует экспериментальным данным, полученным при физиологических температурах

Сравнение характеристик потенциала действия в центральной и периферической областях САУ кролика в моделях и в экспериментальных данных в нормальных условиях и при ингибиовании кальциевого тока L-типа.

Модель, год создания	$\downarrow g_{\text{CaL}}/P_{\text{CaL}}, \%$	Период, с	МДП, мВ	Амплитуда ПД, мВ	$\Delta P_{\text{D}50}, \text{с}$	$dV_{\text{max}}/dt, \text{В/с}$
Noble & Noble (центр) 1984	<b>0</b>	<b>0,266</b>	<b>-63,03</b>	<b>85,60</b>	<b>0,063</b>	<b>4,8</b>
	25	0,269	-61,30	77,45	0,065	3,7
	50	0,267	-53,44	57,01	0,067	1,7
ML (центр) 2009	<b>0</b>	<b>0,333</b>	<b>-62,82</b>	<b>75,88</b>	<b>0,100</b>	<b>4,8</b>
	25	0,359	-62,51	71,16	0,095	3,0
	50		Нет генерации ПД			
Severi (центр) 2012	<b>0</b>	<b>0,355</b>	<b>-58,00</b>	<b>80,28</b>	<b>0,110</b>	<b>7,2</b>
	25	0,361	-58,19	76,60	0,098	5,5
	50	0,398	-57,97	70,01	0,086	3,5
ML + ЭКМ (центр) 2015	<b>0</b>	<b>0,466</b>	<b>-67,32</b>	<b>89,71</b>	<b>0,113</b>	<b>6,3</b>
	25	0,501	-68,65	83,41	0,095	4,8
Zhang (центр) 2000	<b>0</b>	<b>0,321</b>	<b>-56,01</b>	<b>75,20</b>	<b>0,137</b>	<b>2,3</b>
	25		Нет генерации ПД			
Zhang (периферия) 2000	<b>0</b>	<b>0,159</b>	<b>-77,52</b>	<b>102,12</b>	<b>0,076</b>	<b>61,1</b>
	25	0,149	-76,59	96,64	0,067	56,6
	50	0,136	-74,15	87,13	0,058	46,3
Алиев (центр) 2005	<b>0</b>	<b>0,356</b>	<b>-61,48</b>	<b>86,87</b>	<b>0,128</b>	<b>4,1</b>
	25	0,352	-59,67	72,4	0,114	2,1
Aлиев (периферия) 2005	<b>0</b>	<b>0,238</b>	<b>-79,46</b>	<b>108,73</b>	0,100	<b>78,7</b>
	25	0,218	-80,21	106,25	0,089	78,9
	50	0,193	-81,01	103,07	0,074	79,4
Экспериментальные данные (центр) [20], $t = 38^\circ\text{C}$	<b>Контроль</b>	<b><math>0,386 \pm 0,010</math></b>	<b><math>-61 \pm 1,4</math></b>	<b><math>66 \pm 2</math></b>	<b><math>0,105 \pm 0,004</math></b>	<b><math>1,9 \pm 0,2</math></b>
Экспериментальные данные (центр) [21], $t = 35^\circ\text{C}$	<b>Контроль</b>	<b><math>0,333 \pm 0,020</math></b>	<b><math>-62 \pm 4</math></b>	<b><math>65 \pm 5</math></b>	<b><math>0,105 \pm 0,010</math></b>	<b><math>3,2 \pm 0,5</math></b>
Экспериментальные данные (периферия) [21], $t = 35^\circ\text{C}$	<b>Контроль</b>	<b><math>0,300 \pm 0,020</math></b>	<b><math>-78 \pm 6</math></b>	<b><math>95 \pm 4</math></b>	<b><math>0,070 \pm 0,010</math></b>	<b><math>17,0 \pm 5,0</math></b>
Экспериментальные данные (центр) [18], $t = 31^\circ\text{C}$	<b>Контроль</b>	<b><math>0,600 \pm 0,095</math></b>	<b><math>-61 \pm 6</math></b>	<b><math>71 \pm 6</math></b>	<b><math>0,168 \pm 0,015</math></b>	<b><math>5,6 \pm 1,8</math></b>
	0.1 мкМ нифедипина	0,679 ± 0,075	-57 ± 8	53 ± 14*	0,179 ± 0,014	2,8 ± 1,3*

Окончание

Модель, год создания	$\downarrow g_{\text{CaL}}/P_{\text{CaL}}, \%$	Период, с	МДП, мВ	Амплитуда ПД, мВ	$\Delta P_{\text{D}50}, \text{с}$	$dV_{\text{max}}/dt, \text{В/с}$
Экспериментальные данные (периферия) [18], $t = 31^\circ\text{C}$	<b>Контроль</b>	$0,552 \pm 0,060$	$-71 \pm 3$	$80 \pm 2$	$0,148 \pm 0,021$	$24,5 \pm 6,5$
	$0,1 \text{ мкМ нифедипина}$	$0,544 \pm 0,051$	$-66 \pm 7$	$72 \pm 2^*$	$0,156 \pm 0,019$	$15,0 \pm 5,0^*$
Экспериментальные данные (центр) [19], $t = 32^\circ\text{C}$	<b>Контроль</b>	<b>0,602</b>	<b>-67,86</b>	<b>77,59</b>	<b>0,176</b>	<b>5,6</b>
	$2 \text{ мкМ нифедипина}$			Нет генерации ПД		
Экспериментальные данные (периферия) [19], $t = 32^\circ\text{C}$	<b>Контроль</b>	<b>0,349</b>	<b>-71,14</b>	<b>91,75</b>	<b>0,085</b>	<b>84,8</b>
	$2 \text{ мкМ нифедипина}$	0,287	-72,66	87,30	0,062	75,2

Примечание. \* – Достоверность различий по сравнению с контролем;  $\downarrow g_{\text{CaL}}/P_{\text{CaL}}, \%$  – уменьшение в моделях максимальной проводимости/проницаемости каналов L-типа к ионам кальция в процентах от исходного значения; МДП – максимальный диастолический потенциал;  $\Delta P_{\text{D}50}$  – длительность ПД на 50% амплитуды;  $dV_{\text{max}}/dt$  – максимальная скорость нарастания фронта ПД. Средние значения экспериментальных данных из работы [19] адаптированы для таблицы.

[20,21]. Отметим, что временные характеристики ПД очень чувствительны к изменению температуры: период спонтанных возбуждений и  $\Delta P_{\text{D}50}$ , зарегистрированные при 35 и  $38^\circ\text{C}$ , численно отличаются от данных, полученных при температурах  $31\text{--}32^\circ\text{C}$  [18,19] в 1,5–2 раза (таблица).

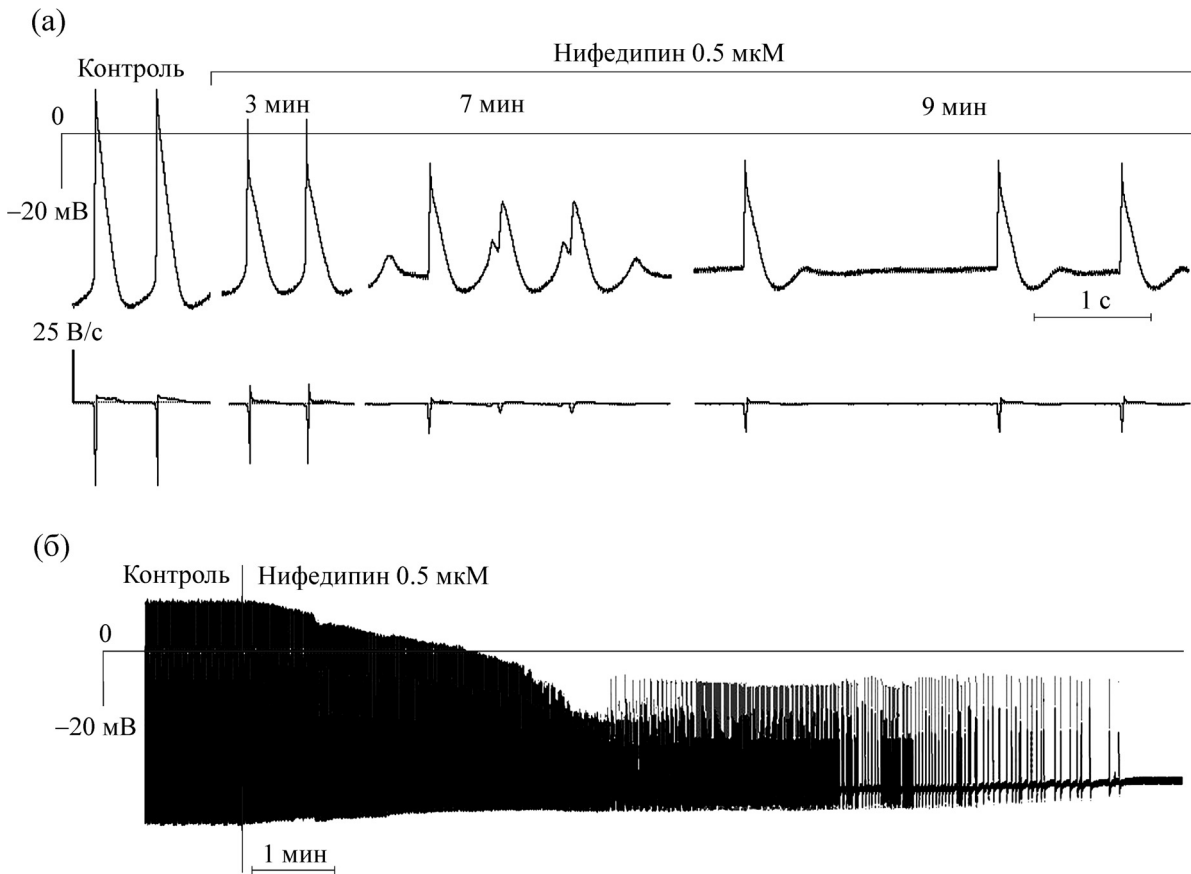
Значительные отличия от экспериментального значения максимального диастолического потенциала показали модели Severi и Zhang (центр). Превышение по амплитуде ПД показали результаты вычислений на моделях Noble & Noble, ML + ЭКМ и Алиева (центр).

Все модели латентных водителей ритма (модели Zhang (периферия) и Алиева (периферия), выделены курсивом в таблице) воспроизводят более высокую скорость  $dV_{\text{max}}/dt$  по сравнению с клетками истинных водителей ритма, что соответствует экспериментальным данным (таблица). Частота генерации ПД выше в периферических клетках по сравнению с центральными клетками: на 50,5% в модели Zhang (периферия) и на 33,1% в модели Алиева (периферия) vs. 42,0% в эксперименте при температуре  $32^\circ\text{C}$  [19]. Отметим, что в других экспериментальных работах региональные различия оказались менее выраженным [18,21]. Также модели Zhang (периферия) и Алиева (периферия) качественно воспроизводят различия в характеристиках максимального диастолического потенциала и амплитуды ПД: максимальный диастолический потенциал ниже, а амплитуда ПД выше в пе-

риферических участках по сравнению с центральным участком САУ.

**Влияние блокатора кальциевых каналов L-типа на электрическую активность клеток САУ.** Экспериментально было показано, что чувствительность центральных клеток к ингибиции  $\text{Ca}^{2+}$  тока  $i_{\text{CaL}}$  выше по сравнению с периферическими клетками [18,19]. Ингибирование  $i_{\text{CaL}}$  блокатором нифедипином в концентрации 0,1 мкМ у центральных клеток ( $n = 5$ ,  $dV/dt_{\text{max}} = 5,6 \pm 1,8 \text{ В/с}$ ) привело к снижению амплитуды ПД на 25% и замедлению скорости фазы быстрой деполяризации на ~50% (таблица, [18]). У периферических клеток ( $dV/dt_{\text{max}} = 24,5 \pm 6,5 \text{ В/с}$ ,  $n = 3$ ) добавление 0,1 мкМ нифедипина привело к снижению амплитуды ПД на 10% и замедлению  $dV/dt_{\text{max}}$  на 40% (таблица, [18]). Повышение концентрации нифедипина от 0,1 до 0,5 мкМ ( $n = 4$ ) приводило к подавлению электрической активности у полосок САУ кролика на 7–10 мин экспозиции. Влияние 0,5 мкМ нифедипина на нарушение нормальной генерации ПД периферических клеток САУ кролика показано на рис. 1.

В работах [22,23] показано, что ингибирование  $i_{\text{CaL}}$  нифедипином в концентрации 2 мкМ (что привело к падению на 99% амплитуды  $i_{\text{CaL}}$  по сравнению с контрольным уровнем) вызывает прекращение генерации ПД в центре САУ кролика. На периферии САУ при той же самой концентрации нифедипина уменьшаются  $dV_{\text{max}}/dt$ , амплитуда ПД,  $\Delta P_{\text{D}50}$  и период спонтанных возбуждений. В клетках промежуточ-



**Рис. 1.** Влияние нифедипина ( $0,5 \text{ мкМ}$ ) на генерацию ПД клеток периферической области САУ кролика на 3-й, 7-й и 9-й минуте экспозиции: (а) – изменение конфигурации ПД и скорости фазы быстрой деполяризации ( $dV/dt_{\max}$ ), (б) – запись ПД при сжатой временной шкале [18].

ногого типа было отмечено значительное уменьшение частоты колебаний [19].

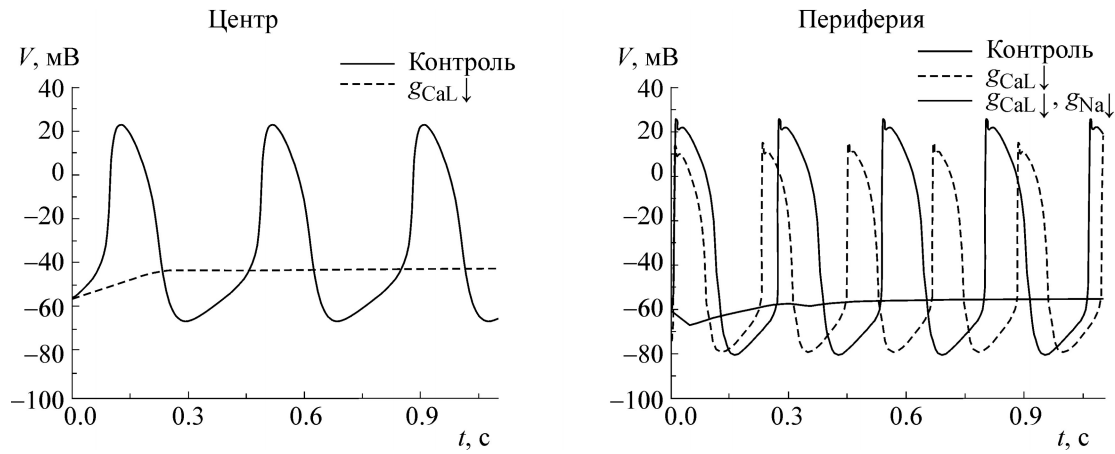
Модели, учитывающие региональные различия электрических свойств клеток САУ (модели Zhang и Алиева), воспроизводят отличия в ответе клеток из различных регионов на ингибирование  $i_{\text{CaL}}$ . При одинаковом уменьшении параметра  $g_{\text{CaL}}$  в моделях наблюдалось прекращение генерации ПД в центре, но не на периферии САУ, что соответствует экспериментальным данным (таблица). Результаты моделирования показывают, что сильно выраженный натриевый ток в периферических клетках по сравнению с центральными клетками [11] является компенсаторным механизмом, предотвращающим резкое падение суммарного деполяризующего тока, которое привело бы к остановке электрической активности клетки. При одновременном подавлении натриевого тока в периферических клетках в моделях Zhang (периферия) и Алиева (периферия) наблюдалось прекращение генерации ПД аналогично тому, как

ранее было получено в центральных клетках САУ (рис. 2).

Все анализируемые модели истинных водителей ритма воспроизводили экспериментальный результат остановки спонтанной активности. Однако чувствительность моделей к параметру, описывающему максимальную проводимость ( $g_{\text{CaL}}$ ) (или проницаемости каналов L-типа к ионам кальция ( $P_{\text{CaL}}$ )) оказалась различной.

Модель Noble & Noble оказалась наименее чувствительной к подавлению  $i_{\text{CaL}}$  (точнее, кальциевой компоненты  $i_{\text{SI}}$ , о существовании кальциевых каналов L-типа не было известно на момент выхода оригинальной статьи). В данной модели уменьшение  $P_{\text{CaL}}$  на 25 и 50% не привело к прекращению генерации ПД. Несмотря на уменьшение  $dV_{\max}/dt$  и амплитуды ПД, такие характеристики, как период спонтанных возбуждений и  $\text{ДПД}_{50}$ , изменились незначительно (таблица).

Модель Zhang, которая не учитывает внутриклеточную динамику  $\text{Ca}^{2+}$ , оказалась наибо-



**Рис. 2.** Влияние ингибиции  $\text{Ca}^{2+}$  тока L-типа ( $\downarrow g_{CaL}$  на 50%) на генерацию ПД клеток центральной и периферической области САУ в модели Алиева.

лее чувствительной к подавлению тока  $i_{CaL}$ : уменьшение на 25% максимальной проводимости каналов L-типа  $g_{CaL}$  в модели Zhang (центр) привело к полному подавлению спонтанной активности, чего не наблюдается в других моделях. Более того, уже при уменьшении  $g_{CaL}$  на 15% генерация ПД в модели прекращалась со второй секунды. Уменьшение  $g_{CaL}$  на 10% вызвало уменьшение амплитуды и периода колебаний. В модели Zhang периферической клетки уменьшение  $g_{CaL}$  на 50% привело к уменьшению периода колебаний на 7% (18% в эксперименте [19]) и к 15%-му падению амплитуды (5% в эксперименте [19]).

Близкая к модели Zhang модель Алиева включает описание функции СР клетки САУ. В результате модель Алиева центральных клеток САУ менее чувствительна к ингибиции  $i_{CaL}$ : спонтанная электрическая активность не прекращается при уменьшении  $g_{CaL}$  на 25%. Относительные изменения амплитуды и периода колебаний ПД периферической клетки при подавлении  $i_{CaL}$  несколько ближе к экспериментальным значениям [19]: 19%-е уменьшение периода колебаний и 5%-е уменьшение амплитуды. Следует отметить, что медленные изменения внутриклеточных ионных концентраций  $\text{Na}^+$  и  $\text{K}^+$  приводили к дальнейшему сокращению периода колебаний в модели Алиева до 0,186 с, однако для упрощения рассматриваемых явлений в настоящей работе для всех моделей рассматривались только первые 10 сердечных циклов. В обеих моделях установившееся значение мембранныго потенциала в центральных клетках при ингибиции  $i_{CaL}$  равнялось  $-41$  мВ (см. рис. 3), что близко к  $-45$  мВ, полученным в эксперименте [19].

Результаты экспериментов на ML-модели, основанной на гипотезе «кальциевых часов», модели Severi (в которой функция СР и динамика кальция в цитозоле интегрирована из ML-модели) и модели ML + ЭКМ показали противоположный результат: при ингибиции  $i_{CaL}$  период колебаний увеличился (таблица). Так, в модели Severi период увеличился на 11%, а  $dV_{\max}/dt$  упала в два раза при ингибиции  $i_{CaL}$  на 50%, что соответствует экспериментальным данным на полосках ткани (11,6%-е увеличение периода, 50%-е падение  $dV_{\max}/dt$  при 0,1 мкМ нифедипина [19]). Изменение амплитуды ПД при уменьшении  $g_{CaL}$  на 25% составило величину порядка 5 мВ в моделях ML, Severi и ML + ЭКМ по сравнению с  $\approx 15$  мВ в модели Алиева.

## ОБСУЖДЕНИЕ

Анализ показал, что при ингибиции кальциевого тока L-типа анализируемые модели воспроизводят следующие экспериментально зарегистрированные результаты: 1) уменьшение  $dV_{\max}/dt$ , 2) уменьшение амплитуды ПД, 3) уменьшение ДПД<sub>50</sub> (кроме модели Noble & Noble). Частота спонтанных генераций ПД рассчитан в моделях Zhang и Алиева (моделях мембранный динамики), но не в моделях ML, ML + ЭКМ и Severi (моделях «кальциевых часов»).

Сокращение периода колебаний в моделях «мембранных часов» Zhang и Алиева, в основу которых положен механизм спонтанной активности за счет  $i_f$ , может быть связано с тем, что при подавлении  $i_{CaL}$  деполяризующие токи уменьшаются по сравнению с калиевыми токами, что, в свою очередь, сокращает фазу ре-

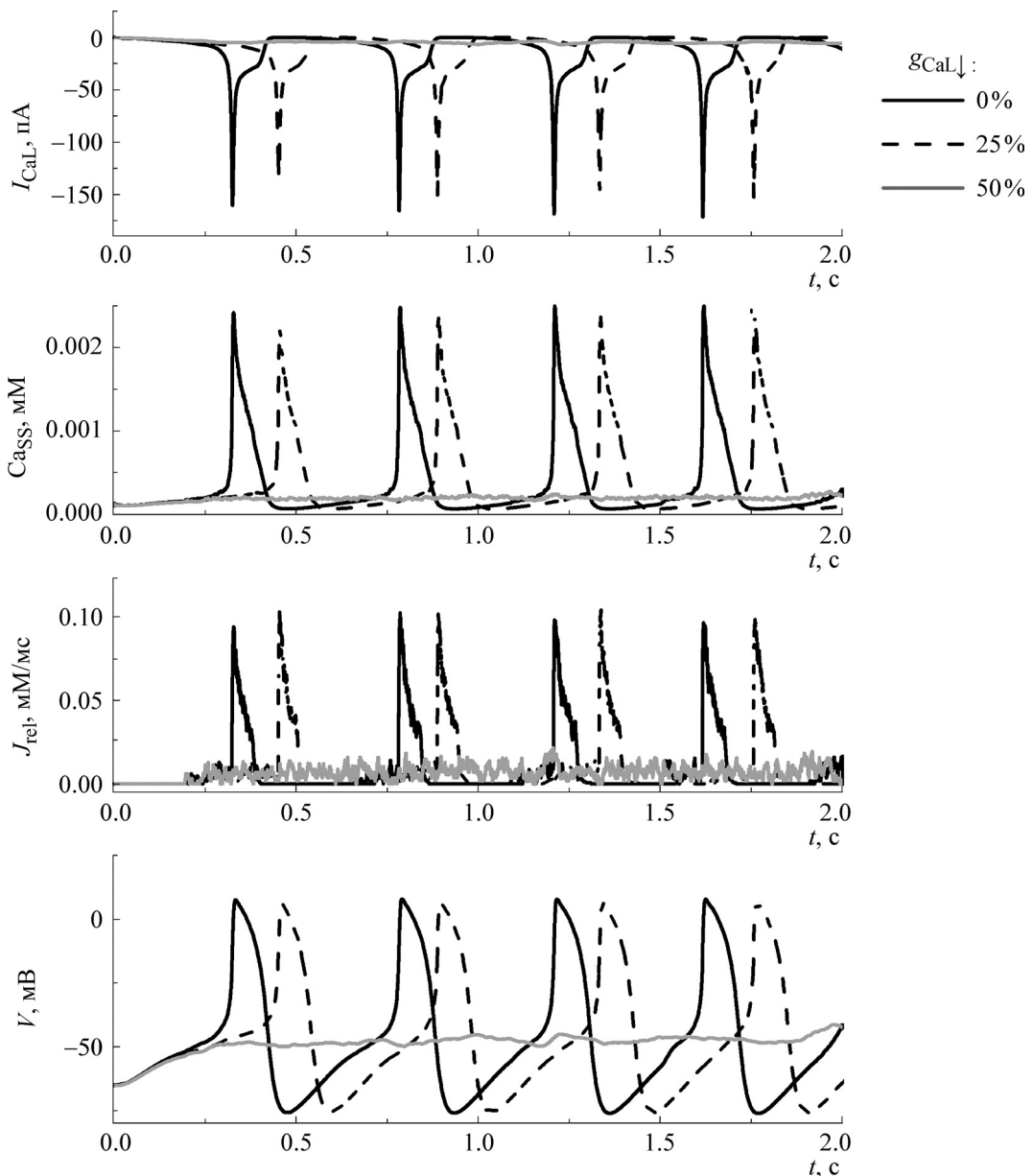


Рис. 3. Влияние ингибиции  $\text{Ca}^{2+}$ -тока L-типа на электрическую функцию и кальциевую динамику в клетке центральной области САУ в модели ML + ЭКМ. Показан временной ход (сверху вниз):  $\text{Ca}^{2+}$ -ток через каналы L-типа ( $i_{\text{CaL}}$ ), концентрация  $\text{Ca}^{2+}$  в диадическом пространстве ( $C_{ss}$ ), поток  $\text{Ca}^{2+}$  из СР ( $J_{\text{rel}}$ ), мембранный потенциал ( $V$ ).

поляризации. Об этом свидетельствует как уменьшение амплитуды колебаний, так и сокращение ДПД<sub>50</sub> (таблица).

Увеличение периода колебаний в моделях «кальциевых часов» может быть связано с достаточно высокой амплитудой тока  $i_{\text{NaCa}}$  в данных моделях: так, например, в модели Severi в контроле амплитуда  $i_{\text{NaCa}}$  достигала величины 2 А/Ф [7], что сравнимо с амплитудой  $i_{\text{CaL}}$ , равной 6 А/Ф. Для сравнения: амплитуда  $i_{\text{NaCa}}$  в модели Алиева центральных клеток в кон-

троле была менее 0,4 А/Ф. Кроме того, на рис. 3 видно, что уменьшение  $g_{CaL}$  на 25% в модели ML + ЭКМ не приводит к значительному уменьшению концентрации кальция в диадическом пространстве, таким образом, несмотря на уменьшение  $g_{CaL}$ , из СР высвобождается достаточно большое количество  $\text{Ca}^{2+}$ , что предотвращает значительное уменьшение тока  $i_{\text{NaCa}}$ , выводящего  $\text{Ca}^{2+}$  из цитозоля клетки во внеклеточное пространство. Таким образом, при ингибиции тока  $i_{\text{CaL}}$  соотношение между

деполяризующими и реполяризующими токами в моделях «кальциевых часов» изменяется не так сильно, как в «мембранных» моделях. С другой стороны, финальная фаза медленной деполяризации и начальная фаза быстрой деполяризации, в которой существенную роль играет  $i_{CaL}$ , замедлилась ( $\approx 6,7\%$  при уменьшении  $g_{CaL}$  на 25% в модели ML + ЭКМ, рис. 3), что привело к увеличению периода спонтанных возбуждений.

Амплитуда  $i_{NaCa}$  в модели Noble & Noble в нормальных условиях достигает 0,8 А/Ф, что больше, чем в моделях Zhang и Алиева, однако меньше чем в моделях ML, Severi, ML + ЭКМ. Таким образом, можно сказать, что по оценке вклада  $i_{NaCa}$  в суммарный деполяризующий ток модель Noble & Noble занимает промежуточное положение между моделями, основанных на гипотезе «кальциевых часов», и моделях, в основу которых положен механизм спонтанной активности, связанный с динамикой мембранных токов.

Проведенное исследование позволяет предположить, что модели типа «кальциевых часов» (ML, ML + ЭКМ и Severi) лучше описывают имеющиеся экспериментальные данные по ингибированию  $i_{CaL}$  в клетках истинных водителей ритма. Модели, в основу которых положен механизм спонтанной активности, связанный с мембранными токами (модели Zhang и Алиева), адекватно воспроизводят экспериментальные данные в клетках периферического типа. Это может быть связано с различной ролью  $i_{NaCa}$  в суммарном деполяризующем токе в моделях первого и второго типа и косвенно может говорить о различных механизмах спонтанной активности в центре и на периферии САУ.

Численные эксперименты на моделях Noble, Severi, Zhang, ML и разработка модели ЭКМ выполнены при финансовой поддержке Российского научного фонда (грант № 14-35-00005), исследование  $Ca^{2+}$ -высвобождающей системы в рамках модели ML + ЭКМ поддержано Российской фондом фундаментальных исследова-

ний (грант № 16-34-60223), экспериментальное исследование влияния нифедипина на электрическую активность клеток САУ поддержано УрО РАН (грант № 15-5-4-11).

## СПИСОК ЛИТЕРАТУРЫ

1. A. L. Hodgkin and A. F. Huxley, *J. Physiol.* **117** (4), 500 (1952).
2. P. R. Алиев, Успехи физiol. наук **41** (3), 44 (2010).
3. A. S. Moskvin, et al., *JETP Lett.* **93** (7), 403 (2009).
4. W. K. Bleeker, et al., *Circ. Res.* **46** (1), 11 (1980).
5. T. N. James, et al., *Circulation* **34** (1), 139 (1966).
6. V. A. Maltsev and E. G. Lakatta, *Am. J. Physiol. Heart Circ. Physiol.* **296** (3), H594 (2009).
7. E. G. Lakatta, et al., *Circ. Res.* **106** (4), 659 (2010).
8. A. M. Рывкин, et al., *Биофизика* **60** (6), 1138 (2015).
9. D. Noble and S. J. Noble, *Proc. R. Soc. Lond. B Biol. Sci.* **222** (1228), 295 (1984).
10. S. Severi, et al., *J. Physiol.* **590** (18), 4483 (2012).
11. H. Zhang, et al., *Am. J. Physiol. Heart Circ. Physiol.* **279** (1), H397 (2000).
12. P. R. Алиев, et al., *Докл. РАН* **397** (5), 697 (2000).
13. P. R. Алиев и Л. М. Чайлахян, *Докл. РАН* **402** (5), 689 (2005).
14. Y. Kurata, et al., *Am. J. Physiol. Heart Circ. Physiol.* **283** (5), H2074 (2002).
15. M. D. Stern, et al., *J. Gen. Physiol.* **113** (3), 469 (1999).
16. A. M. Ryvkin, et al., *Dokl. Biol. Sci.* **444** (1), 162 (2012).
17. A. Garny, et al., *Philos. Trans. A Math. Phys. Eng. Sci.* **367** (1895), 1885 (2009).
18. Е. А. Лебедева и В. А. Головко, в сб. *Материалы докладов V Съезда биофизиков России* (Ростов-на-Дону, 2015), т. 2, с. 306.
19. I. Kodama, et al., *Am. J. Physiol. Heart Circ. Physiol.* **272** (6), H2793 (1997).
20. T. Ophof, et al., *J. Mol. Cell Cardiol.* **17** (6), 549 (1985).
21. В. А. Головко, *Росс. физiol. журн. им. И.М. Сеченова* **95** (4), 387 (2009).
22. P. F. Mery, et al., *J. Physiol.* **494** (Pt 1), 105 (1996).
23. H. Satoh and K. Tsuchida, *J. Cardiovasc. Pharmacol.* **21** (5), 685 (1993).

## Influence of Intracellular Calcium Dynamics on Electrical Activity of Sinoatrial Node Cells

**A.D. Khokhlova\* \*\*, R.A. Syunyaev\*\*\*, A.M. Ryvkin\* \*\*, D.V. Shmarko\* \*\*,  
M.A. Gonotkov\*\*\*\*, E.A. Lebedeva\*\*\*\*, V.A. Golovko\*\*\*\*, A.S. Moskvin\*\*,  
O.E. Solovyova\* \*\* \*\*\*\*\*, and R.R. Aliev\*\*\* \*\*\*\*\***

\*Institute of Immunology and Physiology, Ural Branch of the Russian Academy of Sciences,  
ul. Pervomaiskaya 106, Yekaterinburg, 620049 Russia

\*\*Ural Federal University named after the first President of Russia B.N. Yeltsin,  
ul. Mira 19, Yekaterinburg, 620002 Russia

\*\*\*Moscow Institute of Physics and Technology (Moscow State University),  
Institutskiy per. 9, Dolgoprudny, Moscow Region, 141701 Russia

\*\*\*\*Institute of Physiology, Komi Scientific Center, Ural Branch of the Russian Academy of Sciences,  
ul. Pervomaiskaya 50, Syktyvkar, Republic of Komi, 167982 Russia

\*\*\*\*\*Institute of Mathematics and Mechanics, Ural Branch of the Russian Academy of Sciences,  
ul. Sof'i Kovalevskoi 16, Yekaterinburg, 620990 Russia

\*\*\*\*\*Institute of Theoretical and Experimental Biophysics, Russian Academy of Sciences,  
ul. Institutskaya 3, Pushchino, Moscow Region, 142290 Russia

The influence of intracellular calcium dynamics on spontaneous activity of pacemaker cells was investigated via mathematical modeling. We compared the responses to the inhibition of calcium L-type current in several models of electrical activity of sinoatrial node cells. All models showed a decrease in the maximum velocity of depolarization, action potential amplitude, action potential duration. Calcium clock models showed an increase in the period of calcium oscillation up to 12%. Models in which spontaneous activity is mainly determined by the hyperpolarization-activated current showed up to 15% reduction in the oscillation period. A comparison of theoretical results with experimental data indicates different contribution of intracellular mechanisms to spontaneous activity of pacemaker cells from center and periphery of the sinoatrial node.

*Key words:* action potential, calcium dynamics, sinoatrial node, mathematical modeling